文章编号: 1007-4252(2008)03-0566-09

ZrO宽带隙半导体及其基本特性

贺永宁,朱长纯,侯洵 (西安交通大学电子与信息工程学院电子科学与技术系, 西安 710049)

摘要. ZnO 半导体是宽带隙半导体领域中继 GaN和 SiC之后的研究热点。同时,作为一种氧化物半 导体, ZnO 半导体在能带结构、晶格缺陷、抗辐照特性以及电学性质等方面具有特殊性, 已有的研究 中还存在一些不同的认识。本工作在阐述 ZnO 的晶体结构和基本性质基础之上,对其能带结构和 缺陷特征、电子输运以及 D型掺杂等主要的半导体特性研究现状进行了较为全面综述和分析。由 于 ZnO 半导体具有高的激子束缚能、优良的电子输运性质、强抗辐照特性以及低成本和环境友好 等显著特征,它是未来半导体光电子领域极具应用潜力的新一代宽带隙半导体材料,但是到目前为 止,p型掺杂技术仍然是 7n0 半导体器件面临的最大挑战。

关键词: ZnO; 宽带隙半导体; 晶体缺陷; 电子输运; p型掺杂

中图分类号: 文献标识码: A

Recent advances in characteristics of ZnO sem iconductor

HE Yong ning ZHU Chang chun HOU Xun (Department of electronic science and technology the school of electronic & information Xían Jiaotong University Xían 710049, China)

Abstract Wurtzite ZnO, a wide—bandgap (3, 437 eV at 2 K) semiconductor has recently become a new research focus in the field of the wide—band gap semiconductors. It should be noted that ZnO also belongs to the oxide semiconductor which introduces some different characteristics for ZnO semiconductor from others such as GaN and SiC. The energy band structure crystal defects electronic transport proper ty p—type doping etc were studied as well as the fabrication and application of ZnO semiconductor Some progress has been made and some issues still exist. Recent successes in the research of the characteristics of ZnO semiconductor was overviewed and discussed. The main advantages of ZnO are its large exciton binding energy (60 meV), its high field transmission properties and the environment—friendly growth processes for bulk and epitaxial ZnO crystal which promises it's potential applications in the future electronic and opto—electronic fields. Up to now, its still an issue how to obtain reproducible high quality p type ZnO sem iconductor

收稿日期: 2006-07-31; 修订日期: 2007-06-15

基金项目: "十五"²¹¹工程项目: ZnO基纳米光电功能材料及其光电器件;西安交通大学自然科学基金: MgZnO/ZnO/MgZnO 双势垒共振隧穿特性研究;西安交通大学 985平台建设培植项目:固态源陶瓷靶材实现 ZnO半导体 p型掺杂的研究。

作者简介:贺永宁,女,讲师,博士,研究方向: ZnO基宽带隙半导体材料和器件,纳米材料和器件 (E-mail yongnin@ mail xj-

tu edu en). (C)1994-2022 China Academic Journal Electronic Publishing House. All rights reserved. http://www.cnki.net

K ey words. Zinc oxide wide band—gap sem iconductor crystal deffects electronic transport properties p—type doping

0 引言

ZnO属 II-VI族宽禁带直接带隙化合物半导 体材料,熔点为 1975 C,室温下禁带宽度为 3.37eV, 激子束缚能为 60meV, 远远大于室温离解能。人们 早就发现, ZnO对于蓝光、紫光、近紫外波段的光电 子器件是一种极具潜力的宽带隙光电子半导体材 料^[1]。在过去,主要是利用 ZnO 多晶陶瓷制备压 电、气敏传感器等,但是 ZnO作为宽带隙半导体的 制备、特征研究以用于电子 光电子半导体器件的研 制,却没有受到象 GaN 等那样的重视,这主要是由 于 ZnO 高结晶质量薄膜难以制备, 高密度缺陷 (位 错、晶界等等)的晶体致使室温下的 ZnO 紫外受激 发射特性急遽猝灭的缘故。[23] GaN 蓝光激射的成 功大大激发了其它宽带隙半导体的研究步伐。1997 年, Ohtomo研究小组^[4,5]首次报道了蓝宝石衬底上 利用激光分子束外延(L-MBE)方法制备高结晶质 量的 ZnO薄膜,以及该薄膜的室温紫外受激发射现 象,从而彻底改变了 ZnO这种宽带隙半导体研究在 过去很长时间受到冷落的局面。随后 Science以" Will UV Laser Beat the Blues"[6]为题对此作了专门 报道,并称之为"A Great Work"。几年来,随着 ZnO 单晶衬底^[7~9]、高结晶质量 ZnO外延薄膜及其紫外 发光[10~16] 紫外探测性质[17, 18], ZnO的禁带调 制 $^{[19\sim22]}$ 以及 ZnO的 P型掺杂 $^{[23\sim26]}$ 等实验研究的 进展,人们认为在蓝光、紫光、近紫外波段的光电子 器件研制中, ZnO即将可能成为 GaN 最有竞争力的 光电子半导体材料。此外,近几年的研究发现它具 有高的击穿强度和饱和飘移速度^[27],比 Si GaAs CdS. GaN 等大部分半导体材料抗辐照能力更 强[28-30],在高速器件和空间器件方面具有应用潜 力。

ZnO半导体的研究还处于基础研究阶段,目前主要集中在材料生长包括单晶圆片的制造、薄膜外延(ZnO本征薄膜、禁带调制和 p型掺杂等)及其表征和简单异质结结构及其器件的探索研究方面。相比于 GaN基材料和器件的研究过程,ZnO半导体材料和器件的基础研究进展要快得多,诸如在室温激子激光。禁带调制和量子、随结构 Journal P型掺杂和

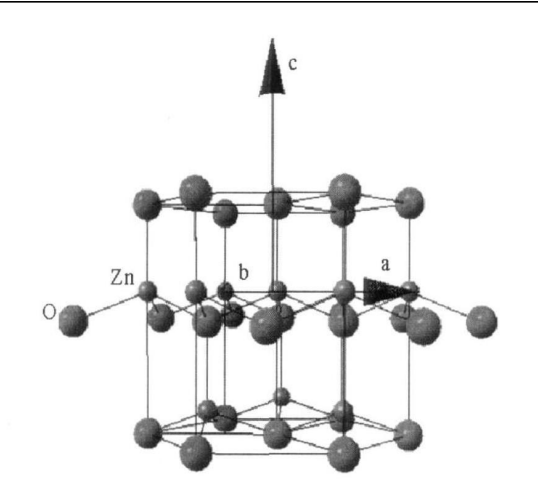
发光 LED^[24, 26, 35]等方面的研究成果很鼓舞人心,但是仍然面临一些特殊的挑战,作为典型的氧化物半导体,在制造工艺及其晶体缺陷性质两方面都与其它化合物半导体有很大的不同,对 ZnO半导体的缺陷性质、电学性质等方面还需要深入地研究和理解,这对 ZnO半导体的应用研究具有关键意义。

本文在阐述 ZnO的晶体结构和基本性质基础之上,对其能带结构和缺陷特征、电子输运性质以及p型转化等关键的半导体特性研究现状进行了较为全面综述和分析。从而对 ZnO半导体材料的基本特性有较为深入地了解,并认识到 ZnO半导体及其器件研究中所面临的一些问题和解决方法。限于篇幅,本文不专门对 ZnO半导体器件和纳米结构等方面的应用研究进行阐述。

1 纤锌矿型 ZnO的晶体结构和基本 性质

ZnO有三种晶体结构,即纤锌矿型、闪锌矿型和 盐岩矿型。在大气压条件下存在的热稳定相是纤锌 矿型 ZnO,在立方衬底上才可能形成外延的亚稳态 闪锌矿型 ZnO结构,而只有在相当高的压强下才可 能形成盐岩矿型 ZnO结构。通常生长的 ZnO都是 纤锌矿型晶体结构,纤锌矿型 ZnO晶体结构属六方 晶系,其晶体结构示意图如图 1所示,晶格常数和基 本物理参数如表 1所示。在 ZnO晶体结构中, Zn^{2+} 离子半径为 0.024_{nm} , 0^{2-} 半径为 0.036_{nm} , $Z_{\text{n}} - 0$ 键长 1.9915埃,每个 Zn原子于 4个 O原子构成四 面体排布,晶体中负离子配位多面体为 Zn-O4四 面体,四面体的底面与 C(0001)面平行,四面体的顶 角正对向 C(000-1)面。很明显, Zn原子在 C轴方 向不是对称分布的,其分布偏向于(0001)面,远离 (000-1)面。 ZnO 晶体不仅具有稳定的化学性质 和物理性质,由于 ZnO具有典型的纤锌矿六方晶体 结构,因此它也是一种常见的压电晶体。由于 Zn和 O的电负性差异,纤锌矿 ZnO既具有共价键晶体的 特征也具有离子晶体的特征。实际的 ZnO 晶体中 总是存在非理想化学计量比点缺陷,因此未掺杂 ZnO晶体是典型的弱 n型氧化物半导体。

ublishing House. All rights reserved. http://www.cnki.net



Fig¹ Crystal lattice of wurzitic ZnO sem iconductor 图 1 纤锌矿型 ZnO的晶体结构示意图

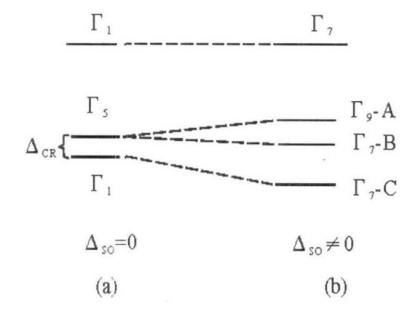
表 1 纤锌矿型 ZnO晶体的基本特性 $(300K)^{[36\sim39]}$

性质 (单位)	ZnO
晶体结构	纤锌矿结构
晶格常数 (nm)	a=0. 3250; c =0. 5205
密度 (g/cm³)	5. 675
熔点 (K)	2250
键能 (KJ/mol)	284. 1
禁带宽度 (eV)	3. 37 (2 K , 3. 437)
激子束缚能	$60_{\mathbf{m}}\mathrm{eV}$
电子有效质量 (m ₀)	$//_{\text{C:}} \ \text{m}_{\text{e}} = 0.28_{\text{m}_0};$
	$C_{:} m_{e} = 0.24 m_{0}$
空穴有效质量 (m ₀)	0. 59
电子 空穴迁移率 $(\mathbf{m}^2/V_{\mathbf{S}})$	200(电子) /5~50(空穴)
介电常数	8. $1(EC)$; 9. $0(E/C)$
折射指数 n	2
压电常数 d ₃₃ (pm /V)	11. 9
声速 (10 ³ m /s)	//C: 6. 0961; C: 6. 0776
热导率 (W /cm· K)	0. 6
热膨胀系数 (10 ⁻⁶ / K)	//c轴: 3 02; 4 75; c轴: 6 51
比热 (J/g K)	0. 494

2 ZnO的能带结构及其固有缺陷

ZnO晶体是直接禁带半导体,2K下的禁带宽度为 3 437 eV,ZnO晶体的价带序比较复杂,布里渊区中心 点的能带结构如图 2所示。 $^{[9]}$ 布里渊区中心 点的导带由 Zn 4 s态构成,价带由 O的 2 p态构成。图 2 (a)中在不考虑自旋轨道耦合时得到的 ZnO能带结构,S导带具有 1对称,2P带对应价带,并且在晶体场(阴阳离子间静电场)下分裂, P_x , P_y 具有 Γ_1 对称, P_z 具有 Γ_5 对称, Δ_{CR} 表示晶体场分裂能。如果考虑到自旋轨道(Spin—ophit SO)耦合和晶体场

(Crystal field CR)相互作用, 2P带分裂为 3个带,最顶部的价带具有 Γ_9 对称,标记为 A, 2个较低的价带具有 Γ_7 对称,标记为 B和 C 此时, S导带具有 Γ_7 对称, SO表示自旋轨道分裂能。在 ZnO体单晶中,低温下可以观察到与 A、B和 C三个价带相关的激子发射峰, ZnO的低温禁带宽度为 3 437 eV,A带的激子束缚能为 60m eV。 [7, 9, 40, 41]



Fig² Energy band structure of wurtzite ZnO at Brillouin zone center.

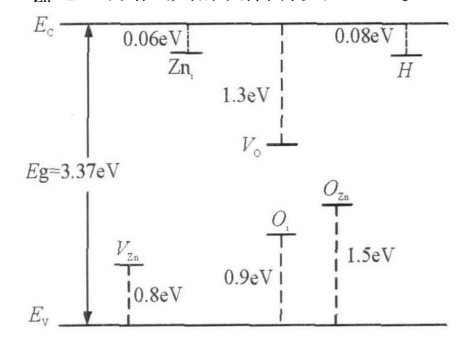
(a) in the absence of spin—orbit coupling and (b) in the presence of spin—orbit coupling

图 2 ZnO晶体的布里渊区中心 点的能带结构:(a)不考虑自旋耦合;(b)考虑自旋耦合

ZnO晶体的室温下禁带宽度 3 37 eV, 本征的 ZnO晶体理论上讲应该具有很好的绝缘性。但是, 实际上 ZnO晶体是典型的弱 n型半导体。原因是 ZnO作为一种氧化物,在其生成过程中,在特定的环 境温度及氧气压力下形成了氧缺位 ZnO_{1-x}这种非 理想化学计量比晶体,因此 ZnO晶体中总是存在一 定浓度的氧空位 VO(正电中心)和锌间隙 Zn.(正电 中心),这些固有点缺陷作为正电中心可以束缚电 子,类似于半导体中的施主杂质,从而在禁带中导带 底附近引入施主能级。关于 ZnO 半导体中施主缺 陷到底是氧空位还是锌间隙,历史上曾经有两种不 同的认识,有人认为施主型锌间隙导致了本征 ZnO 呈 n型导电性^[42~45],而有些人则认为氧空位是主要 的施主[46~49]。现在实验已经确认氧空位属深施主 能级,而锌间隙能级较浅。因此可以认为,虽然高温 条件下形成的 ZnO 晶体在快速冷却到室温时存在 大量的氧空位和锌间隙,而且更容易形成氧空位,但 是相比氧空位而言,作为浅施主的锌间隙在室温环 境却更容易电离从而成为主要的施主缺陷。显然在 室温下影响本征 ZnO半导体电导特性的缺陷主要 是锌间隙,但是氧空位作为深能级点缺陷施主则对

半导体的发光性质有很大影响,而且氧空位和锌间

隙所产生的"自补偿效应"使得通过掺杂来制备 p 型半导体存在困难,因此抑制固有施主缺陷对于 p 型半导体掺杂制备也是非常关键的,后面将对此进 行深入分析。另外, Van de Walle [50, 51]从理论上预 测了 ZnO晶体中 H掺杂是一种重要的浅施主能级, 其存在已经得到了实验佐证[52 53],估计其能级离导 带底约 0.08eV。随着 ZnO晶体制备及其固有缺陷 研究的深入,关于未掺杂 ZnO晶体中固有缺陷及其 和 ZnO物理性质的相互关系, 也在逐步深入, 对于 ZnO半导体电子器件及其光电子器件的应用研究来 说,这也是 ZnO半导体基础研究最为关键的方面之 一。除了氧空位和锌间隙这两种主要的点缺陷, ZnO晶体中的各种点缺陷能级示意图如图 3所示。 显然, 锌空位 Vz, 是主要的浅受主缺陷, ZnO半导体 光致发光谱的绿光峰的产生和氧空位、氧间隙 0.和 锌反位 Oz。这些深能级点缺陷有关^[48~52]



Fig³ Energy levels of crystal defects in intrinsic ZnO semiconductor

图 3 本征 ZnO点阵缺陷的能级

3 ZnO半导体的输运性质

Look等^[55]首次采用气相法生长了大面积 (2 inch)纯度高的 ZnO 单晶,并测量了厚度 1mm的 (0001)ZnO晶圆片的电学性质。图 4是 ZnO 单晶

的电子霍尔迁移率与温度的关系图,可以看到理论计算与实际测量值符合的较好。在 300K 下,晶体中电子浓度为 6×10^{16} ,迁移率为 205 cm 2 V $^{-1}$ S $^{-1}$ 。显然,与 GaN相比,ZnO中的电子迁移率要小,这是因为 ZnO中电子有效质量较大的缘故。

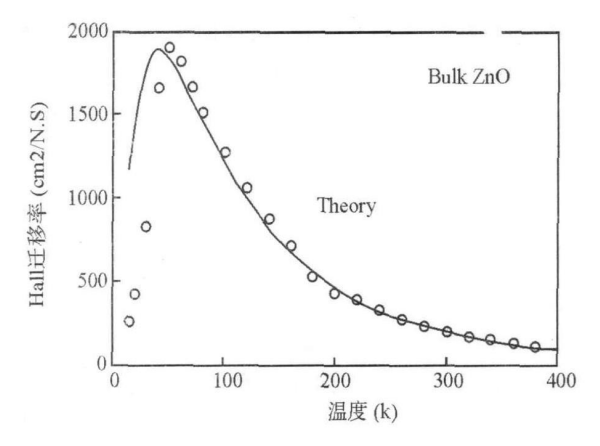


Fig 4 Hallmobility of bulk ZnO single crystal 图 4 体 ZnO 单晶的霍尔迁移率

A· Ohtomo等^[56]给出了匹配衬底 ScA M gO₄ 和 失配衬底蓝宝石上利用 L—MBE生长的 ZnO 外延 薄膜的电子迁移率,如图 5所示。图中圆圈代表蓝宝石衬底上低温沉积 ZnO 薄膜的电子霍尔迁移率 测量值,正方形代表蓝宝石衬底上低温沉积 ZnO 薄膜在 1000°C下 1am氧气氛中热处理后的电子霍尔迁移率测量值,三角形代表匹配衬底上 950°C下生长的 ZnO薄膜的电子霍尔迁移率测量值。可以看

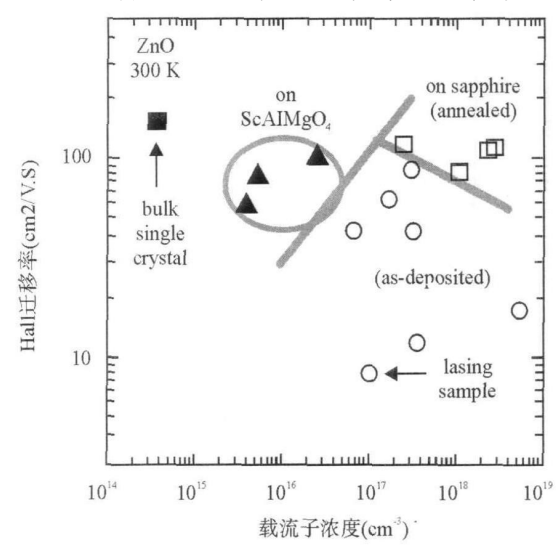


Fig. 5 Electronic properties of various undoped ZnO film and a bulk single crystal

图 5 不同衬底上 ZnO外延薄膜以及体单晶 ZnO的霍尔迁 isning House. All rights reserved. http://www.cnki.net

到蓝宝石衬底上低温生长的 ZnO 薄膜经过氧气分中高温热处理后,迁移率达到了与体单晶相当的量级,但是载流子浓度较高。而 $ScAMgO_4$ 匹配衬底上生长的 ZnO 薄膜中电子浓度约 $\sim 10^{15}$ $/cm^3$,迁移率为 $60\sim 100$ cm^2 $/V_8$,可见,ZnO 半导体的电子迁移率受到了晶体中各种缺陷的显著影响,如界面缺陷、本征点缺陷以及残留杂质等。在以上述的热处理后的 ZnO 薄膜作为缓冲层所生长的单晶 ZnO 薄膜中,各种缺陷得到了抑制,其迁移率甚至达到了 440 cm^2 $/V_8$ [57]。

关于 ZnO 另一个引人注意的电学性质是 Albrecht等^[27]从理论上预测了 ZnO 中的电子饱和速度高于 GaN 中电子的饱和速度。室温下纤锌矿 ZnO和 GaN的计算稳态漂移速度如图 6所示。在 300K下,ZnO中电子漂移速度峰值为 3.2×10⁷ cm/s 所加电场强度为 270kV/cm. 比 GaN的速度峰值电场高约 100 kV/cm。而且高场下 ZnO中漂移速度负微分迁移率更小。其原因是在电场小于 350 kV/cm条件下漂移速度一电场特征曲线的负微分迁移率是由最低的导带谷中的电子分布引起,而不是像 GaN和 AN那样是由卫星谷电子分布引起的。虽然这方面的研究还没有直接实验研究报道,但是对于高速电子器件应用来说,ZnO稳定的电子高场输运性质显然是非常有利的。

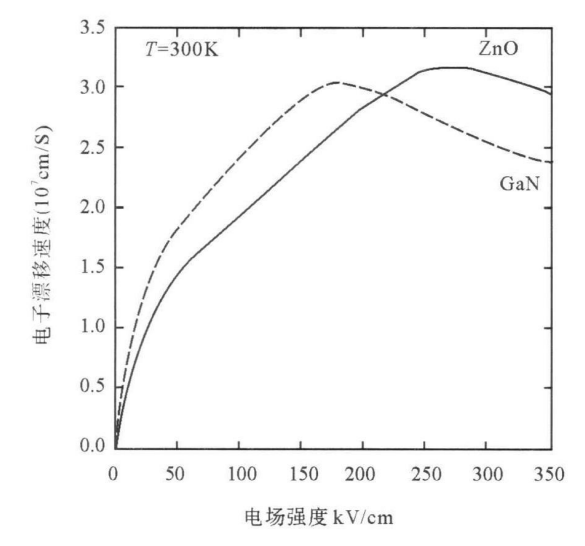


Fig. 6 Calculated electron drift velocity vs electric field for wurtzite ZnO (solid) and GaN (dashed)

图 6 计算的室温下纤锌矿 ZnO(和 GaN)的稳态漂移速度

4 ZnO半导体的 p型掺杂

(C由于4.ZnQ半导体中本征点缺陷施丰的存在,常Publ

规实验所获得的未掺杂 ZnO半导体样品中,获得弱 n型导电性质是必然的。通过 Al Ga等 III族元素 的掺杂可以获得良好的 n型电导 ZnO 半导体。但 是固有的施主点缺陷的补偿效应却对 ZnO半导体 的 p型转化造成了困难,目前 ZnO半导体的 p型掺 杂已经成为限制氧化锌材料在异质结制造和电子/ 光电子器件开发应用的瓶颈^[5& 59]。 ZnO中固有的 施主型点缺陷补偿效应相比其他的宽带隙化学物半 导体要更为显著,这其中有两个原因。一方面,对于 ZnO这种氧化物半导体,在常规的薄膜生长工艺中, 所获得的晶体中往往存在大量的施主缺陷氧空位和 锌间隙。另一方面,为了获得 p型 ZnO,常常掺入受 主杂质以补偿氧空位和锌间隙,但是一旦掺入了受 主杂质, ZnO中原本存在的氧空位和锌间隙所释放 的电子就会与受主能级释放的空穴相复合,释放出 大小与 ZnO禁带宽度相当的能量,这个能量接近氧 空位和锌间隙的形成能,一定比例的补偿又会在在 晶体内产生相当的氧空位和锌间隙的浓度,从而使 得有效的施主浓度基本保持不变。即使在杂质固熔 度大、掺杂能级较浅的有效受主掺杂条件下, ZnO中 固有的施主型点缺陷对掺杂受主的补偿效应却使得 ZnO难以获得有效空穴浓度。因此克服 ZnO中的 这种"自补偿效应"可能是实现 ZnO 实现有效的 p 型掺杂的关键点。

在 I族元素 Li掺入 ZnO中并形成锌的替位缺 陷时,可以形成施主,施主能级为 0.09eV, 因此 Li 可以形成浅受主杂质缺陷 LiZn 而 Cu和 Ag的替代 锌原子形成深施主掺杂^[60]。由于 Li⁺半径较小,也 可以进入氧四面体和氧八面体形成间隙缺陷,Li的 间隙缺陷 Lii反而成为施主,实验研究[25,46]表明 Li 的掺杂常常形成高阻 ZnO, 而非 p型 ZnO。在 V族 元素 N、P、As等掺入 ZnO中时,其中 N³⁺的离子半 径与 0^2 的离子半径相近,并且氮原子替代氧原子可 以形成受主缺陷 NO, 受主能级在价带顶约 0. 4eV^[61],理论上讲是最理想的受主杂质。目前为止, N离子注入, 氮气、氨气和各种氧化氮气体辅助生长 的 N掺杂 ZnO,还有 N-III族的施主受主共掺杂都 得到了实验研究,存在的主要问题是 ZnO 中氮的溶 解度较低,难以形成稳定的有效浓度的 N掺杂 ZnO。研究发现 N源的活化和低的生长温度可以实 现较高浓度的 N掺杂 ZnO薄膜[26,62],因此该方面 实验研究有待于继续深入下去。另外在多层结构的

生长和后处理中需要保护 N掺杂层,防止氮的挥发,从而保持氮掺杂 p型 ZnO的稳定性。2004年,日本的 Tsukazaki等人报道了^[26]利用 L^{MBE}工艺实现 p型 N掺杂 ZnO薄膜,并首次利用该工艺实现了 ZnO同质结发光二极管。该研究小组在 900°C 氧气氛下的 L^{MBE}生长可以获得低缺陷浓度的高结晶质量的本征 ZnO薄膜晶体,对于 N掺杂层生长,则采用 500 C下生长 15mm厚的氮掺杂 ZnO层和900 C下生长 1mm厚未掺杂 ZnO层的调制过程,从而获得了界面质量良好的高空穴浓度 N掺杂 p型 ZnO薄膜。可见,包括晶界、位错以及点缺陷的减少都在一定程度上抑制 ZnO固有缺陷的补偿效应。该研究小组的报道给 p型 ZnO半导体及其光电器件的开发带来了曙光。

P.As等的离子半径较大,按照理论计算 $^{[61]},P.$ As替代氧原子形成受主缺陷 PO、AsO时,应该形成 深受主,受主能级分别 0.93eV和 1.15eV,在室温下 难以形成 p型 ZnO。但是,近年来有不少关于 P、As 掺杂成功实现 p型 ZnO的报道[24,62~65],这似乎和 理论预测相违背。其实,由于 P、As等的原子半径 较大,并不一定形成氧原子的替位缺陷,而是形成了 一些形成能和电离能都较低的复合受主性缺陷。对 于 ZnO中的 As掺杂, Linpijumnong [66]认为,离子半 径很大的 As没有取代氧原子, 而是取代锌原子形成 AsZn缺陷,同时诱发两个 Vzn缺陷,对于这样一个 $A_{S_{20}}$ $-2V_{Z_{20}}$ 复合受主型缺陷,形成能仅仅 1 59 eV,电 离能 0.15 eV。对于不同的掺杂工艺及不同热处理 条件,关于掺 P的 ZnO薄膜的电导特性从很好地 n 型电导到高阻态以至于很好的 p型电导均有报道, 这反应了磷的掺杂行为较为复杂。Kim等[33]报道 掺 P的 ZnO薄膜在适当热处理条件下可以从典型 的 n型电导转化为典型的 p型电导,这大大激发了 人们对 P掺杂 ZnO薄膜 p型转化的研究兴趣。实 验研究表明,掺 P的 ZnO薄膜需要在高温下激活, 才能够实现 p型转化。可能的原因是在较低温生长 条件下,由于磷原子半径较大,在 ZnO薄膜中不能 形成受主缺陷 PO, 在某一高温热处理过程中, 形成 了有效的受主缺陷并在随后的冷却过程保持在晶体 中,这种受主缺陷的激活对温度相当敏感。总之大 半径原子作为受主掺杂,其晶格畸变的弛豫使得杂 质缺陷偏离理论预测, Ryu研究小组[67, 68]近期报道

管,证明该方面的研究对于 ZnO基光电器件也是相当有意义的。

5 结论

近期,美国 Cemet公司^[9]在高温高氧压条件下熔融法生长的 ZnO 体单晶生长也达到了气相法 ZnO体单晶相当的质量,该方法可以进行 5.5英寸公斤级大尺寸 ZnO体单晶的生长。考虑到 ZnO 晶体具有较大的激子束缚能、稳定的高场输运性质以及可湿法化学腐蚀等独一无二的特征,和大尺寸本征衬底相结合,这将预示着 ZnO宽带隙半导体材料及其电子 光电子器件产业化的巨大潜力。近期报导的 ZnO发光二极管更让人们看到了 ZnO宽带隙半导体光电器件的曙光。

从长远来讲,ZnO作为一种具有稳定的高场电子输运特性和高的抗辐照性能等优良电性能的宽带隙半导体,同时又具有压电、近紫外光电等优良物理特性,随着 ZnO晶圆、ZnO薄膜及其异质结结构的研究进展,本文认为,未来的半导体器件及其集成系统的研究中,ZnO是非常值得关注的性能卓著的宽带隙半导体材料,对于 ZnO基半导体的基础性质及其应用研究是电子学领域不可忽视的新的前沿方向。同时,ZnO作为一种常见的氧化物,原料来源广泛,成本较低,同时 ZnO无毒无味,其化学合成也较为简单,从而在材料和器件制造过程中对人体和环境不会造成负面影响,这对于未来 ZnO基半导体材料和电子 光电子器件的开发也是非常有利的。

参考文献:

- [1] Hvam JM. Temperature—induced wavelength shift of electron—beam—pumped lasers from CdSe CdS and ZnO [J]. Physical review B, 1971, 4(12): 4459—4464.
- [2] Reynolds D C Look D C Jogai B Optically pumped ultraviolet lasing from ZnO [J]. State State Communications 1996, 99 (12), 873-875.
- [3] Look D.C. Recent advances in ZnO materials and devices [J]. Materials Science and Engineering B, 2001, 80: 383-387.
- [4] Segawa Y. Ohtomo A. Kawasaki M, et al Growth of ZnO Thin Film by Laser MBE: Lasing of Exciton at Room Temperature [J]. physica status solidi (b), 1997, 202, 669

了利用94s掺杂 China Reademic Post na Procession of Publishing House. All rights reserved. http://www.cnki.net

- [5] Yu P. Tang Z K. Wong G K L Kawasaki M, et al Ultraviolet spontaneous and stimulated emissions from ZnO microcrystallite thin films at room temperature [J]. Solid State Communications 1997, 103(8): 459—463.
- [6] Will UV Lasers Beat the Blues [J]. Science 1997, 276, 895.
- [7] Park Y S Reynolds D C Growth of ZnO single crystals
 [J] Journal of applied physics 1967, 38 (2): 756 760.
- [8] Jeff E Nause ZnO broadens the spectrum [J]. III—V s R eview, 1999, 12(4), 28—31.
- [9] Reynolds D C Litton CW, Look D C et al High—quality melt—grown ZnO single crystals [J]. Journal of applied physics 2004, 95(1): 4802—4805.
- [10] Tang Z K, Wong G K L Yu P, et al. Room—temperature ultraviolet laser emission from self—assembled ZnO microcrystallite thin films [J]. Appl Phys Lett. 1998, 72 (25): 3270—3272.
- [11] Yefan Chen Darren Bagnall Takafımı i Yao ZnO as a novel photonic material for the UV region [J]. Materials Science and Engineering 2000, B75: 190—198.
- [12] Hang Ju Ko Yefan Chen Soon Ku Hong et al MBE growth of high—quality ZnO films on epi—GaN [J].

 Journal of Crystal Growth 2000, 209; 816—821.
- [13] Xiaotian Yang Guotong Du Xinqiang Wang et al Effect of post—thermal annealing on properties of ZnO thin films grown on c—Alo3 by metal—organic chemical vapor deposition [J]. Journal of Crystal Growth 2003, 252; 275—278.
- [14] Tsukazaki A. Ohtomo A. Yoshida S. et al. Layer—by—layer growth of high—optical—quality ZnO film on atomically smooth and lattice relaxed ZnO buffer layer [J]. Appl Phys. Lett. 2003, 83 (14), 2784—2786.
- [15] Bing Guo Zhizhen Ye Wong K S Time—resolved photolum inescence study of a ZnO thin film grown on a (100) silicon substrate [J]. Journal of Crystal Grow the 2003, 253, 252—257.
- [16] Nick M Sbrockey Shanthi Ganesan ZnO thin films by MOCVD[J]. III-VsReview, 2004, 17(7): 23-25.
- [17] Liang S Sheng H, Liu Y, et al ZnO Schottky ultraviolet photodetectors [J]. Journal of Crystal Growth 2001, 225, 110—113.
- [18] Basak D. Am in G. Mallik B. et al. Photoconductive UV detectors on sol—gel—synthesized ZnO films[J]. Journal of Crystal Growth. 2003, 256; 73—77.

- II VI widegap semiconductor alloy [J]. Appl Phys Lett 1998, 72: 2466—2468.
- [20] Chen J Shen W Z Chen N B et al The study of composition non—uniformity in temary M g_x Zn_{1-x} O thin films [J]. J Phys Condens M atteb 2003, 15 (30): L475—1,482.
- [21] Makino T. Segawa Y. Kawasaki M. et al. Band gap engineering based on Mg_xZn_{1-x}O and CdyZn_{1-y}O temary alloy films[J]. Appl Phys Lett. 2001, **78**(9): 1237—1239.
- [22] Shama A. K. Narayan J. Muth. J. F. et al. Optical and structural properties of epitaxial M.g., Zn_{1-x} O. alloys [J]. Applied Physics Letters. 75(21): 3327—3329.
- [23] Ryu Y R. Zhu S. Look D C et al. Synthesis of p—type ZnO films[J]. Journal of Crystal G row th. 2000, 216, 330—334.
- [24] Toru Aoki Yoshinori Hatanaka Look D. C. ZnO diode fabricated by exciner—laser doping[J]. Applied physics letters, 2000, **76**(22): 3257—3259.
- [25] Look D C Reynolds D C Litton C W, et al Characterization of homoepitaxial p—type ZnO grown by Molecular beam epitaxy [J]. Applied physics letters 2002, 81 (10): 1830—1832.
- [26] Tsukazaki A. Ohtomo A. Onuma T. et al. Repeated temperature modulation epitaxy for p—type doping and light —emitting diode based on ZnO [J]. Nature materials 2005, 5, 42—46.
- [27] Albrecht J.D. Ruden P.P. Limpijumnong S. et al. High field electron transport properties of bulk ZnO [J]. J Appl Phys. 1999, 86 (12), 6864—6867.
- [28] Look D. C. Hemsky J.W., Sizelove J.R. Residual Native Shallow Donor in ZnO [J]. Phys Rev Lett 1999, 82: 2552-2555.
- [29] Look D.C. Reynolds D.C. Hemsky J.W. et al. Production and annealing of electron irradiation damage in ZnO [J]. Appl Phys Lett. 1999, 75, 811—813.
- [30] Coskun C Look D C Farlow G C et al Radiation hardness of ZnO at low temperatures [J]. Sem icond Sci Technol 2004, 19: 752—754.
- [31] Muth J.F. Teng C.W., Sharmal A.K. et al. Growth of ZnO/MgZnO Superlattice on Sapphire [J]. Mat Res Soc Symp. 2000, 617; J6. 7. 1 J6. 7. 7.
- [32] Ohtomo A. Kawasaki M. Ohkubo I et al. Structure and optical properties of ZnO /M g^{O.} 2Zn^{O.} 8O superlattices [J]. Appl Phys Lett. 1999, **75**(7), 980—982.
- $[\,33\,]$ Sun H D, Makino T, Tuan N T, et al Stimulated emission
- [19] Oh tom o.A. Kawasaki M. Koida T. et a l. M. g. Zni O. as a induced by exciton exciton scattering in ZnO /ZnM gO (C) 1994-2022 China Academic Journal Electronic Publishing House. All rights reserved.

- multiquantum wells up to room temperature [J]. Applied Physics Letters 2000, 77 (26): 4250—4252.
- [34] Sun H D. Makino T. Segawa Y, et al. Enhancement of exciton binding energies in ZnO/ZnM gO multiquantum wells.
 [J]. Applied Physics Letters 2002, 91 (4): 1993 1997.
- [35] Dae—Kue Hwang Soon—Hyung Kang Jae—Hong Limet al p—ZnO/n—GaN heterostructure ZnO light—emitting diodes [J]. Applied Physics Letters 2005, 86: 222101.
- [36] David P Norton Synthesis and properties of epitaxial electronic oxide thin—film materials [J]. Materials Science and Engineering R, 2004, 43: 139—247.
- [37] Robert W. C. Melvin A. J. William B.H. CRC Handbook of Chemistry and Physics [M]. Florida, CRC Press Inc 1993. 95—100.
- [38] Teng Chia—Wei Optical characterization of wide band gap semiconductuors and nanostructures [D]. North Carolina State University 2000.
- [39] Choopun S ZnO wide band gap semiconductor for optoelectronic devices [D]. University of Maryland. 2001.
- [40] Reynolds D C Look D C Jogai B et al Valence—band ordering in ZnO[J]. Physical review B, 1999, 60(4): 2340—2344.
- [41] Walter R L Lambrecht Anna V Rodina Sukit Linpijumnong et al Valence—band ordering and magneto—optic exciton fine structure in ZnO [J]. Physical review B-2002, 65, 075207.
- [42] Paul H Kasai Electron spin resonance studies of donors and acceptors in ZnO [J]. Physical review, 1963, 130 (3), 989—995.
- [43] Hagemark K. I. Defects in ZnO [J]. Journal of solid state chem istry. 1976, 16, 293.
- [44] Hutson A.R. Hall Effect Studies of Doped Zinc Oxide Single Crystals [J]. Phys Rev. 1967, 108, 222-230.
- [45]徐毓龙·氧化物与化合物半导体基础 [M]. 西安: 西安 电子科技大学出版社, 1991. 105-110.
- [46] Kroger F.A. The chemistry of imperfect crystals [M]. Amsterdam: North—Holland Publishing Company 1964. 691—710.
- [47] Mahan G.D. Intrinsic defects in ZnO varistors [J]. Journal of applied physics 1983, 54(7): 3825—3832.
- [48] Kohan A. F. Ceder G. Morgan D. et al. First—principles study of native point defects in ZnO[J]. Physical Review B, 2000, 61(22): 15021.

- Energetics of native defects in ZnO [J]. Journal of applied physics 2001, 90(2): 824-828.
- [50] Walle van de C.C. Hydrogen as a Cause of Doping in Zinc Oxide [J]. Phys Rev Lett 2000, 85; 1012—1015.
- [51] Cox S F J Davis E A. Cottrell S P. et al [J]. Phys Rev Lett 2001, 86, 2601-2604.
- [52] Cetin Kilio Alex Zunger n—type doping of oxides by hydrogen [J]. Applied Physics Letters 2002, 81, 73—75.
- [53] Auret F D. Goodman S A. Hayes M, et al. Electrical characterization of 1. 8 M eV proton—bombarded ZnO [J]. Applied Physics Letters 2001, 79 (19), 3074—3076.
- [54] Kucheyev S O. Cagadish J W illiams J S et al. Implant isolation of ZnO [J]. Journal of Applied Physics 2003, 93(5): 2972—2976.
- [55] Look D C ReynoldsD C Sizelove Jones J et al Electrical properties of bulk ZnO [J]. Solid State Communications , 1998, 105(6), 399-401.
- [56] Ohtomo A. Tamura K. Saikusa K. et al Single crystalline ZnO films grown on lattice—matched ScA MgO₄ (0001) substrates[J]. Applied Physics Letters 1999, 75 (17): 2635—2637
- [57] Tsukazaki A. Ohtomo A. Kawasaki M. High—mobility electronic transport in ZnO thin films [J]. Applied Physics Letters 2006, 88, 152106.
- [58] Zhang S B, Wei S H, Zunger A. Overcoming doping bottlenecks in semiconductors and wide gap materials [J]. Physica B, 1999, 273—274, 976—980.
- [59] Zhang S B W ei S H. Zunger A. Intrinsic n type versus p type doping asymmetry and the defect physics of ZnO [J]. Physical R eview B, 2001, 63, 075205.
- [60] Fei Zhuge Preparation of Al-N codoped p-type ZnO thin films and fabrication of ZnO p-n homojunctions [D]. 中国期刊网, 2005, 17.
- [61] Park C H, Zhang S B W ei Su—Huai Origin of p—type doping difficulty in ZnO: The impurity perspective [J]. Physical R eview B, 2001, 66, 073202.
- [62] Xin Li Guo Hitoshi Tabata Tomoji Kawai p Type conduction in transparent semiconductor ZnO thin films induced by electron cyclotron resonance N₂O plasma[J]. Optical Materials 2002, 19, 229—233.
- [63] Ryu Y R. Lee T S White H W. Properties of arsenic—doped p—type ZnO grown by hybrid beam deposition [J]. Applied physics letters 2003, 83(1): 87—89.
- [64] Kyoung Kook Kim, Hyun Sik Kim, Dae Kue
- [49] Fun ivasu Oba Shigeto R Nishitani Sejii Isotani et al hublishing Hwang et al Realization of p _ type ZnO thin films via

- phosphorus doping and thermal activation of the dopant [J]. Appl Phys Lett 2003, 83(1): 63-65.
- [65] Look D C Renlund G M. Burgener II R H. et al As—doped p—type ZnO produced by an evaporation/sputtering process[J]. Appl Phys Lett 2004, 85 (22): 5269—5271.
- [66] Linpijumnong S. Zhang S.B. Su—HuaiWei et al. Doping by Large—Size—Mismatched Impurities. The Microscopic Origin of Arsenicor Antmony—Doped p—Type

- Zinc Oxide [J]. Physical review letters 2004, **92** (15): 155504.
- [67] Ryu Y R. Lee T—S Lubguban J A. et al Next generation of oxide photonic devices. ZnO—based ultraviolet light emitting diodes [J]. Appl Phys Lett 2006, 88, 241108.
- [68] Ryu Y R. Lubguban J A. Lee T S et al Excitonic ultraviolet lasing in ZnO based light emitting devices [J]. Appl Phys Lett 2007, 90, 131115.